

บทความวิจัย

สมบัติเชิงกลของวัสดุพสมชีวภาพเสริมแรงด้วยเส้นไยรากหญ้า แฟกพสมเส้นไยมะพร้าว และพสมเส้นไยเปลือกถั่วลิสง ในอัตราส่วนที่แตกต่างกัน

พงศธร กองแก้ว^{1*} วิจิตร เชาว์วนกกลาง² และ ไฟธูรย์ สุขศรีงาม³

บทคัดย่อ

การวิจัยครั้งนี้มีวัตถุประสงค์เพื่อศึกษาสมบัติเชิงกลของวัสดุพสมชีวภาพ โดยแบ่งออกเป็น 2 ส่วน ดังนี้ 1) ศึกษาอัตราส่วนที่เหมาะสมระหว่างเส้นไยรากหญ้าแฟกพสมเส้นไยมะพร้าว (C1) และเส้นไยรากหญ้าแฟกพสมเส้นไยเปลือกถั่วลิสง (C2) และ 2) ศึกษาสมบัติเชิงกล ได้แก่ ความหนาแนงดึง มอดูลัสแรงดึง ความหนาแนงดัดโค้ง มอดูลัสแรงดัดโค้ง และความหนาแนงกระแทก โดยวางแผนการทดลองแบบ 2×5 Factorial ตามแผนการทดลองแบบสุ่มสมบูรณ์ จำนวน 3 ชุด ผลการทดลองพบว่า วัสดุพสมเสริมแรงด้วยเส้นไยรากหญ้าแฟกพสมเปลือกถั่วลิสง (C2) ที่อัตราส่วน 1:1 มีค่าความหนาแนงดึง มอดูลัสแรงดึง ความหนาแนงดัดโค้ง และมอดูลัสแรงดัดโค้งสูงสุด เท่ากับ 28.72 MPa 918.00 MPa 30.38 MPa และ 911.16 MPa ตามลำดับ ส่วนสมบัติความหนาแนงกระแทกสูงสุด เท่ากับ 8.51 kJ/m² ของวัสดุพสมเสริมแรงด้วยเส้นไยรากหญ้าแฟกพสมเส้นไยมะพร้าว (C1) ที่อัตราส่วน 5:5 และจากการวิเคราะห์โครงสร้างทางจุลภาคพบว่า สมบัติเชิงกลของวัสดุพสมมีค่าเพิ่มขึ้น เนื่องจากพันธะภายในที่ยึดเกาะระหว่างเส้นไยและเมทริกซ์เกิดขึ้นได้ดี และความเครียดแรงดึงล้มพันธ์กับความสามารถในการดูดซับและการกระจายแรงอย่างสม่ำเสมอทั่วทั้งพื้นผิวของวัสดุพสม นอกจากนี้ การเกิดช่องว่างระหว่างเส้นไยและเมทริกซ์ ส่งผลให้สมบัติเชิงกลของวัสดุพสมมีค่าลดลง

คำสำคัญ: สมบัติเชิงกล วัสดุพสมชีวภาพ เส้นไยรากหญ้าแฟก เส้นไยมะพร้าว เส้นไยเปลือกถั่วลิสง อัตราส่วนที่แตกต่างกัน

¹สาขาวิชาพลิกส์ คณะวิทยาศาสตร์และเทคโนโลยี มหาวิทยาลัยราชภัฏมหาสารคาม

²สาขาวิชาพลิกส์ คณะวิทยาศาสตร์และเทคโนโลยี มหาวิทยาลัยราชภัฏมหาสารคาม

³คณะสิ่งแวดล้อมและทรัพยากรศาสตร์ มหาวิทยาลัยมหาสารคาม

*ผู้นิพนธ์ประสานงาน, e-mail: ch_ko29@hotmail.com

Mechanical Properties of Biocomposites Reinforced by Vetiver Root Fiber Mixed with Coconut Fiber and Peanut Shell Fiber at Different Ratios

Pongsathorn Kongkaew^{1*}, Wijit Choawanklang², and Paitoon Suksri-ngam³

ABSTRACT

This research aimed to study mechanical properties of biocomposites with 2 specific objectives: 1) to study of optimal ratio of vetiver root fiber mixed with coconut fiber (C1) and vetiver root fiber mixed with peanut shell fiber (C2) and 2) to study of mechanical properties such as tensile strength, tensile modulus, flexural strength, flexural modulus and impact strength. The experimental design was 2×5 factorial in completely randomized design (CRD) with 3 replications. The findings of experiment showed that the composites reinforced with vetiver root fiber mixed with peanut shell fiber (C2) at ratio 1:1 showed the most values of tensile strength, tensile modulus, flexural strength and flexural modulus had their maximum values which are 28.72 MPa, 918.00 MPa, 30.38 MPa, and 911.16 MPa respectively. For the impact strength, the highest value of 8.51 kJ/m² was of the composites reinforced with vetiver root fiber mixed with coconut fiber (C1) at ratio 5:5. The analysis of the microstructure found that mechanical properties of the composites increased because internal bond adhesion between fiber and matrix was well formed and tensile strain associated with the ability to absorb and distribute the force evenly across the surface of the composites. Moreover, the void between the fiber and matrix, which decreased the mechanical properties of the composite.

Keywords: Mechanical properties, Bio composites, Vetiver root fiber, Coconut fiber, Peanut shell fiber, Different ratios

¹Program of Physics, Faculty of Science and Technology, Rajaphat Maha Sarakham University

²Program of Physics, Faculty of Science and Technology, Rajaphat Maha Sarakham University

³Faculty of Environment and Resource studies, Maha Sarakham University

*Corresponding author, email: ch_ko29@hotmail.com

บทนำ

ความแข็งแรงของวัสดุขึ้นอยู่กับความสามารถของวัสดุที่จะรับด้วยแรงกระทำโดยปราศจากการเปลี่ยนแปลงรูปร่าง หรือการแตกหัก สมบัติของวัสดุนี้จะเป็นลักษณะเฉพาะตัวของวัสดุแต่ละชนิด และสามารถทดสอบได้โดยการดึงหรือการอัด (tension or compression test) การทดสอบตัวอย่างของวัสดุไม่ว่าจะเป็น โลหะ เชรามิก พอลิเมอร์ และวัสดุผสมชนิดต่างๆ จะต้องทำเป็นรูปทรง และขนาดตามมาตรฐานก่อนที่จะทำการทดสอบ เช่น มาตรฐานสมาคมเอมาริกันสำหรับการทดสอบวัสดุ (American Society for Testing and Materials Standard ASTM) มาตรฐานอุตสาหกรรมญี่ปุ่น (Japanese Industrial Standard; JIS) หรือมาตรฐานอื่นๆ ที่ยอมรับกันทั่วโลก ซึ่งมาตรฐานเหล่านี้เป็นตัวบ่งชี้ ความสามารถเป็นแนวทางในการทดสอบวัสดุได้ [1]

วัสดุผสมชีวภาพ (biocomposites) เป็นวัสดุผสมอีกชนิดหนึ่งที่กำลังได้รับความสนใจในงานวัสดุศาสตร์ โดยเฉพาะในอุตสาหกรรมยานยนต์ เช่น กันชน คอนโซลรถยนต์ นอกจากนี้ยังใช้ทำประตูหน้าต่าง หลังคา สะพาน เรือขนาดเล็ก เป็นต้น เนื่องจากเป็นวัสดุที่เป็นมิตรกับสิ่งแวดล้อมหรือนำมาเป็นอุปกรณ์เลือกหนึ่ง เพื่อใช้ทดแทนวัสดุถาวรสิ่งแวดล้อมดังเดิม โดยสามารถแบ่งกลุ่มวัสดุผสมชีวภาพออกเป็นวัสดุผสมชีวภาพที่สามารถย่อยสลายได้บางส่วน (partial biodegradable) และวัสดุผสมชีวภาพที่ย่อยสลายได้หมด (completely biodegradable) [2, 3] วัสดุผสมชีวภาพเป็นวัสดุที่ประกอบขึ้นจากล้วนประกอบด้วยส่วนที่มีส่วนบุคคลต่างกัน โดยทั่วไปประกอบด้วยส่วนสำคัญ 2 ส่วน คือ ส่วนที่เป็นเมทริกซ์ (matrix) ซึ่งจะเป็นสารพากพอลิเมอร์ และส่วนเสริมแรง (reinforcement) ซึ่งจะเสริมแรงด้วยเส้นใยธรรมชาติ (natural fiber) หรือวัสดุอื่นๆ ที่มีองค์ประกอบของเซลลูโลส (cellulose) หรือวัสดุที่เหลือจากการเกย์ตระրร์

การพัฒนาวัสดุผสมในปัจจุบัน นокจากจะมุ่งเน้นไปในเรื่องการปรับปรุงสมบัติต่างๆ ของวัสดุให้ดีขึ้นแล้ว ยังต้องคำนึงถึงราคาและผลกระทบที่จะเกิดต่อสิ่งแวดล้อมควบคู่กันไปด้วย ด้วยเหตุนี้จึงมีความสนใจที่จะนำเส้นใยธรรมชาติหลายชนิดมาใช้ประโยชน์ โดยใช้เป็นเส้นใยเสริมแรงในวัสดุผสมทดแทนเส้นใยสังเคราะห์ ซึ่งข้อดีอื่นๆ ของการใช้เส้นใยธรรมชาติ คือ แหล่งวัตถุดิบสามารถสร้างขึ้นใหม่ได้ (renewable resource) ย่อยสลายและพบมากในธรรมชาติ และลดการสึกหรอที่เกิดขึ้นในระหว่างกระบวนการผลิต [4] เส้นใยธรรมชาติที่ถูกนำมาใช้เป็นเส้นใยเสริมแรงเพื่อเพิ่มความแข็งแรงให้กับผลิตภัณฑ์มีอยู่หลายชนิด แต่ส่วนใหญ่มักนิยมใช้เส้นใยจากพืช เช่น ฝ้าย ปอ ป่าน กัญชง ไผ่ มะพร้าว และลินิน เป็นต้น [1] ด้วยเหตุผลดังกล่าวจึงมีการศึกษาสมบัติเชิงกลจากเส้นใยธรรมชาติ ซึ่งจากรายงานวิจัยพบว่ามีเส้นใยหลายชนิดที่นำมาทดสอบสามารถนำไปใช้ประโยชน์ได้ และมีเส้นใยอีกชนิดที่น่าสนใจสำหรับทดสอบสมบัติเชิงกลได้แก่ เส้นไยรากหญ้าแฟก เส้นไยมะพร้าว และเส้นไยเปลือกกล้วยสิง

หญ้าแฟก (vetiver grass) ซึ่งจัดเป็นหญ้าเขตร้อนที่ขึ้นอยู่ตามธรรมชาติ กระจายตัวอย่างกว้างขวางในสภาพแวดล้อมต่างๆ ซึ่งในประเทศไทยจะพบหญ้าแฟกขึ้นอยู่ตามธรรมชาติในพื้นที่ที่ร้อนชื้น ที่ลุ่มน้ำที่ดอนสามารถขึ้นได้ในดินเกือบทุกชนิด จากการศึกษาพบว่าในระยะเวลา 1 ปีรากของหญ้าแฟกเกือบทุกสายพันธุ์ จะมีรากยาวประมาณ 2-2.5 เมตร หางลีกได้มากกว่า 1 เมตร ขึ้นอยู่กับสภาพของดิน หญ้าแฟกจัดเป็นพืชที่มีระบบ根系ที่ลึก และมีจำนวนมากซึ่งสามารถใช้ช้อนรุ้กษ์ดินและน้ำได้ [5] ดังนั้นจึงมีแนวโน้มที่จะนำรากหญ้าแฟกนี้มาใช้เป็นสารเสริมแรงให้กับวัสดุผสมได้

มะพร้าว (coconut) เป็นพืชที่คนไทยคุ้นเคยมาเป็นเวลานาน และใช้ประโยชน์จากทุกส่วนของมะพร้าว เช่น ผลอ่อนใช้รับประทานสด (น้ำและเนื้อ) เนื้อมะพร้าวจากผลแก่นำไปปรุงอาหารและขนมหลายชนิด เปเลือกมะพร้าวนำไปแยกเอาเส้นใยใช้ทำเชือก วัสดุทำเบาะและที่นอน ซึ่งเส้นใยมะพร้าวเป็นเส้นใยที่ได้จากส่วนที่เป็นเปลือกชั้นในที่อยู่ระหว่างผลและเปลือกชั้นนอก อีกทั้งยังเป็นเส้นใยที่มีการนำมารสเมื่อเป็นวัสดุก่อสร้างมากที่สุด [6] เนื่องจากเป็นวัสดุธรรมชาติที่ไม่มีสารพิษ มีปริมาณมาก ราคาถูก และสามารถทำปฏิกริยาทางเคมีได้ นอกจากนี้ยังมีความแข็งแรง และรับแรงได้ดี เนื่องจากมีลิกนินในองค์ประกอบอยู่ในปริมาณมาก [7]

ถั่วลิสงเป็นพืชตระกูลถั่ว (legume crops) อีกชนิดหนึ่งที่มีความสำคัญทางเศรษฐกิจของประเทศไทย สามารถใช้ประโยชน์ในการเป็นอาหารของมนุษย์และใช้ในอุตสาหกรรมต่างๆ ถั่วลิสงเป็นพืชตระกูลถั่วที่มีเมล็ดค่อนข้างใหญ่ (course grainmcrops) กว่าพืชตระกูลถั่วนิดอื่น เช่น ถั่วเหลืองและถั่วเขียว อย่างไรก็ตาม ในการบริโภคแต่ละครั้ง ผู้บริโภคจะรับประทานเฉพาะเมล็ดถั่วเท่านั้น ทำให้เหลือส่วนที่เป็นเปลือกถั่วเป็นจำนวนมากและกล้ายกเป็นขยะที่ไม่ก่อประโยชน์ใดๆ [8, 9] ดังนั้น จึงมีความเป็นไปได้ที่จะนำเส้นใยจากเปลือกถั่วลิสงมาใช้เป็นสารเสริมแรงให้กับวัสดุผสมเพื่อเพิ่มสมบัติเชิงกลต่างๆ ได้

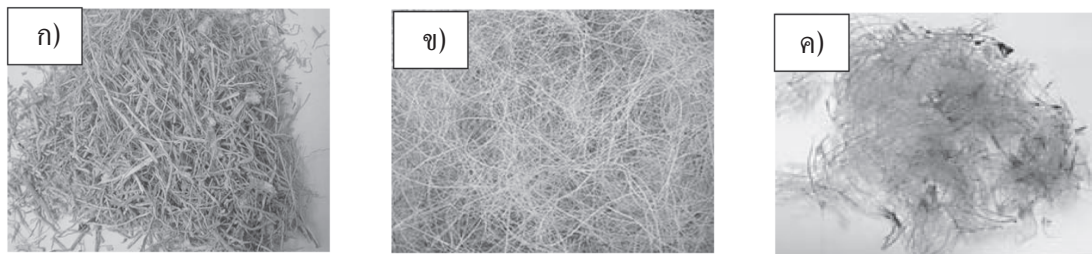
ด้วยเหตุนี้ผู้วิจัยจึงสนใจที่จะศึกษาปัจจัยของสารเสริมแรงด้วยเส้นใยธรรมชาติ ที่มีผลต่อสมบัติเชิงกลของวัสดุผสม โดยใช้เส้นใยจากพืชที่สามารถนำไปต้มห้องลิน ซึ่งประกอบไปด้วย เส้นใยรากรหูฟัก แฟกdon (*Vetiveria nemoralis* A. Camus) เส้นใยมะพร้าวสายพันธุ์สวีลูกผสม 1 (Sawi Hybrid No. 1) และเส้นใยเปลือกถั่วลิสงสายพันธุ์กาฬสินธุ์ 2 (*Arachis hypogaea* L. (Kalasin 2)) โดยเปรียบเทียบชนิดวัสดุผสมที่เสริมแรงด้วยเส้นใยดังกล่าว ในปริมาณอัตราส่วนเส้นใยที่แตกต่างกัน จากการศึกษาข้างต้น สามารถขยายผลการศึกษาไปสู่เส้นใยธรรมชาติชนิดอื่นๆ มาเป็นตัวเสริมแรงในวัสดุผสม รวมทั้งเป็นการศึกษาแนวโน้มความเป็นไปได้ที่จะนำมาใช้ในทางอุตสาหกรรมด้วย

อุปกรณ์และวิธีทดลอง

1. วัสดุอุปกรณ์

ในงานวิจัยนี้เป็นการศึกษาสมบัติเชิงกลของวัสดุผสมชีวภาพเสริมแรงด้วยเส้นใยธรรมชาติ ซึ่งเตรียมเส้นใยจากรากรหูฟัก มะพร้าว และเปลือกถั่วลิสง โดยได้เก็บรวบรวมเส้นใยจากพืชทั้ง 3 ชนิด จากบ้านโนนที่ อ.เมือง จ.มหาสารคาม จากบ้านดงเค็ง อ.จังหาร จ.ร้อยเอ็ด และตลาดสด อ.เมือง จ.มหาสารคาม ตามลำดับ ดังรูปที่ 1 เส้นใยทั้งหมดจะมีค่าเฉลี่ยของเส้นผ่านศูนย์กลางระหว่าง $200-300 \mu\text{m}$ ส่วนสมบัติต่างๆ ของเส้นใย ดังตารางที่ 1

อีพ็อกซี่เรซิน (Epoxy resin) ความหนาแน่น 1.176 g/cm^3 ผสมกับตัวทำแข็ง (hardener) ความหนาแน่น $0.97-0.99 \text{ g/cm}^3$ จากบริษัท Ajoxfinechem กรุงเทพฯ ประเทศไทย ใช้เป็นเมทริกซ์ในการเตรียมวัสดุผสม



รูปที่ 1 เส้นใยธรรมชาติที่ใช้ในการทดลอง (ก) เส้นไยรากรหูฟูก (ข) เส้นไยมะพร้าว (ค) เส้นไยเปลือกถั่วถิง

2. การเตรียมวัสดุสมทดสอบสอบสมบัติต่างๆ

ขั้นแรกของการเตรียมวัสดุสม คือ นำเส้นใยทั้ง 3 ชนิด ล้างทำความสะอาดด้วยน้ำ จากนั้นนำไปบนที่อุณหภูมิ 60°C เป็นเวลา 24 ชั่วโมง ขั้นที่สองตัดเส้นไยให้มีขนาดความยาวประมาณ 10-13 มิลลิเมตร แล้วจึงนำไปใช้ในสารละลาย NaOH ความเข้มข้น 6% โดยน้ำหนัก เพื่อดัดแปลงเส้นไยเป็นเวลา 3 ชั่วโมง ที่อุณหภูมิห้อง แล้วล้างด้วยน้ำสะอาดจนกระทั่งน้ำมีค่า pH 7 นำเส้นไยอบที่อุณหภูมิ 60°C เป็นเวลา 24 ชั่วโมง และนำเส้นไยไปเก็บไว้ในเดซิเคเตอร์ เพื่อรักษาไว้ ขั้นที่สามขึ้นรูปวัสดุสมด้วยมือ (hand lay-up) โดยการผสมเส้นไยกับเมทริกซ์ (เมทริกซ์ ประกอบด้วยอีพ็อกซี่เรซินกับตัวทำแข็งในอัตราส่วนโดยน้ำหนัก 10:1 [13]) ภายใต้เงื่อนไขวัสดุสมที่เตรียมจากเส้นไยแตกต่างกัน 2 กลุ่ม คือ เส้นไยกุ่มแรก (C1) เส้นไยรากรหูฟูกผสมเส้นไยมะพร้าว และ เส้นไยกุ่มที่สอง (C2) เส้นไยรากรหูฟูกผสมเปลือกถั่วถิง โดยในแต่ละกลุ่มใช้อัตราส่วนเส้นไยโดยน้ำหนักเหมือนกัน คือ 1:1 2:2 3:3 4:4 และ 5:5 (อัตราส่วนตัวแรก คือ เส้นไยชนิดที่ 1 และอัตราส่วนตัวที่สอง คือ เส้นไยชนิดที่ 2) ขั้นที่สี่เทเวสต์ที่เตรียมลงในแม่แบบยางพาราตามมาตรฐานการทดสอบสมบัติเชิงกลต่างๆ ดังนี้ 1) การทดสอบสมบัติความทนแรงดึง (tensile strength) และมอดูลัสแรงดึง (tensile modulus) ขึ้นรูปชิ้นงานตามมาตรฐาน ASTM D 638 2) ความทนแรงดัดโค้ง (flexural strength) และมอดูลัสแรงดัดโค้ง (flexural modulus) ขึ้นรูปชิ้นงานตามมาตรฐาน ASTM D790 และ 3) ความทนแรงกระแทก (impact strength) ขึ้นรูปชิ้นงานตามมาตรฐาน ASTM E23 เกลี่ยให้สม่ำเสมอทั่วทั้งแม่แบบ โดยจัดเรียงเส้นไยเป็นแบบอิสระ ขันสุดท้ายปิดทันด้วยแผ่นไมลาร์ และทิ้งให้ชิ้นงานแข็งตัวที่อุณหภูมิห้องเป็นเวลา 7 วัน จากนั้นจึงนำชิ้นงานออกจากแม่แบบ ในขั้นนี้จะผลิตชิ้นงานทั้งหมด 5 ชิ้นต่อการทดสอบ 1 การทดสอบทุกกลุ่มตัวอย่าง โดยเลือกชิ้นงาน 3 ชิ้นที่ให้ผลใกล้เคียงกันที่สุดมาใช้ในการวิเคราะห์ข้อมูล

ตารางที่ 1 สมบัติต่างๆ ของเส้นไยธรรมชาติที่ใช้ในการทดลอง

สมบัติ	หญ้าแฟก ^[10]	มะพร้าว ^[11]	เปลือกถั่วลิสง ^[12]
เซลลูโลส (wt%)	72.6	32-43	35.7
เอนิเซลลูโลส (wt%)	-	0.15-0.25	18.7
ลิกนิน (wt%)	17	40-45	30.2
ความหนาแน่น (g/cm ³)	1.5	1.1	-
ความทนแรงดึง (MPa)	247-723	131-175	-
มอดูลัสของยัง (GPa)	12.0-49.8	4.0-6.0	-
เบอร์เซ็นต์การยืดตัว (%)	1.6-2.4	15.0-40.0	-

3. การวิเคราะห์ข้อมูล

การทดลองครั้งนี้ใช้แผนการทดลองแบบ 2×5 Factorial ตามแผนการทดลองแบบสุ่ม แผนการทดลองแบบสุ่มสมบูรณ์ (Completely Randomized Design (CRD)) อิทธิพลแบบคงที่ (Fixed effect model) มี 2 ปัจจัย คือ 1) เส้นไยกลุ่มแรก (C1) เส้นไยก้าแฟกผสมเส้นไยมะพร้าว และ เส้นไยกลุ่มที่สอง (C2) เส้นไยก้าแฟกผสมเปลือกถั่วลิสง 2) อัตราส่วนเส้นไย คือ 1:1 2:2 3:3 4:4 และ 5:5 จากนั้นนำข้อมูลมาวิเคราะห์หาค่าเฉลี่ยและค่าเบี่ยงเบนมาตรฐาน ($mean \pm SD$) วิเคราะห์ความแปรปรวนทางสถิติโดยใช้ Two-way Analysis of Variance (ANOVA) ที่ระดับความเชื่อมั่นร้อยละ 95 โดยทดสอบทั้งหมด 3 ชี้

4. การวิเคราะห์โครงสร้างทางจุลภาค

นำตัวอย่างชิ้นงานที่ผ่านการทดสอบสมบัติเชิงกล มาตรวจสอบโครงสร้างทางจุลภาคด้วยกล้องจุลทรรศน์อิเล็กตรอนแบบล่องกราด (Scanning Electron Microscope (SEM))

ผลการทดลอง

การศึกษาสมบัติเชิงกลของวัสดุผสมโดยพิจารณาจาก 2 ปัจจัย คือ 1) วัสดุผสมเสริมแรงด้วยกลุ่มเส้นไย C1 และ C2 และ 2) อัตราส่วนเส้นไยที่แตกต่างกัน (1:1 2:2 3:3 4:4 และ 5:5) ผลการทดลองดังตารางที่ 2 โดยแบ่งผลการทดลองตามการทดสอบสมบัติเชิงกล ดังนี้

ตารางที่ 2 ผลการทดสอบสมบัติเชิงกลของวัสดุพสม

กลุ่มเส้นใย	อัตราส่วน ของเส้นใย	ความหนา แรงดึง (MPa)	มอดูลัสแรงดึง ^a (MPa)	ความหนา แรงดัดโค้ง ^a (MPa)	มอดูลัส แรงดัดโค้ง ^a (MPa)	ความหนา แรงกระแทก (kJ/m ²)
เส้นไนรากรหญ้าแฟก + เส้นไนมะพร้าว (C1)	1:1	15.93±3.28	331.50±38.97	18.40±1.21	74.03±18.01	3.58±0.25
	2:2	14.30±0.78 ^b	320.17±36.69 ^b	20.16±1.67	110.50±15.60	3.82±0.78
	3:3	19.74±2.58	625.50±68.41	19.51±1.98	90.32±11.29	7.13±1.39
	4:4	21.65±1.38	684.33±35.06	16.95±1.99	98.65±29.60	6.50±0.88
	5:5	16.06±1.50	466.17±18.94	15.67±1.24 ^b	64.07±3.90 ^b	8.51±0.25 ^a
เส้นไนรากรหญ้าแฟก + เส้นไนเบล็อกถั่วลิสง (C2)	1:1	28.72±1.85 ^a	918.00±31.05 ^a	30.38±2.11 ^a	911.16±15.66 ^a	5.07±0.38
	2:2	24.83±5.64	615.33±24.34	30.18±3.88	883.17±27.73	4.08±0.67
	3:3	25.66±2.23	682.11±53.24	18.66±2.31	796.62±23.28	2.89±0.29 ^b
	4:4	27.61±2.96	886.67±43.00	24.18±2.75	884.73±47.36	3.46±0.50
	5:5	26.72±1.10	842.50±44.25	25.09±7.20	896.10±63.15	2.98±0.18
ค่าเฉลี่ยรวม		26.71±3.03	788.92±127.69	25.70±5.68	874.36±53.27	4.78±1.88

หมายเหตุ a คือ ค่านากที่สุด

b คือ ค่าน้อยที่สุด

1. สมบัติแรงดึง (Tensile Properties)

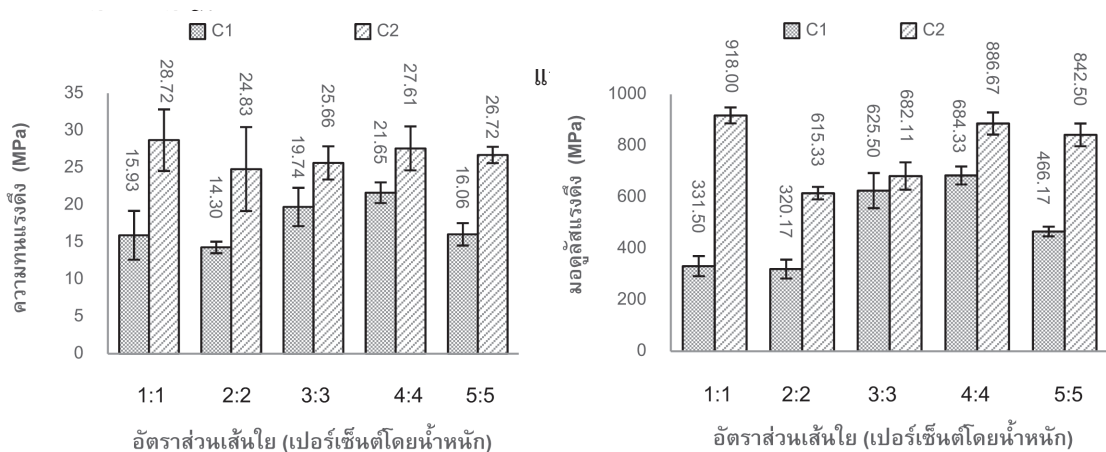
ผลการวิเคราะห์ค่าความหนาแรงดึงและมอดูลัสแรงดึง พบว่า ไม่มีอิทธิพลร่วมระหว่างปัจจัยทั้งสองต่อความหนาแรงดึง แต่ปัจจัยที่ 1 ล่งผลให้ค่าดังกล่าวมีความแตกต่างกัน ($P < .05$) และปัจจัยที่ 2 ไม่แตกต่างกัน ($P > .05$) โดย C2 ที่อัตราส่วน 1:1 มีค่าความหนาแรงดึงมากที่สุด คือ 28.72 MPa สำหรับการวิเคราะห์ค่ามอดูลัสแรงดึง พบว่า มีอิทธิพลร่วมระหว่างปัจจัยทั้งสอง ($p < .05$) โดย C2 ที่อัตราส่วน 1:1 มีค่ามากที่สุด คือ 918.00 MPa ดังตารางที่ 3 ซึ่งมากกว่าชิ้นงานอื่นๆ และไม่แตกต่างจาก C2 ที่อัตราส่วน 4:4

จากรูปที่ 2 และ 3 สามารถอธิบายเหตุผลเพิ่มเติมว่า C2 ที่อัตราส่วน 1:1 มีสมบัติความหนาแรงดึง และมอดูลัสแรงดึงที่ดี เนื่องจากมีพื้นฐานภายในและการยึดเกาะระหว่างเส้นใยและเมทริกซ์ที่แข็งแรง ซึ่งล่งผลให้มีการถ่ายเทแรงดึงกระจายทั่วทั้งพื้นผิวของวัสดุ [10, 14] แต่ในทางตรงกันข้ามที่อัตราส่วน 2:2 ของ C1 จะมีค่าความหนาแรงดึงและมอดูลัสแรงดึงน้อยที่สุด คือ 14.30 MPa และ 320.17 MPa ตามลำดับ ซึ่งสามารถอธิบายเหตุผลหลักได้ 2 ประการ คือ 1) เกิดข้อบกพร่องหรือความผิดปกติภายใน เช่น เกิดช่องว่างและความอ่อนแองของพื้นฐานระหว่างเส้นใยและเมทริกซ์ 2) ลักษณะเฉพาะของเส้นใยที่ไม่เหมาะสมกับการเสริมแรงในวัสดุพสม [15] และจากการศึกษาของ Sandhyarani และคณะ [16] พบว่า ปัจจัยที่ส่งผลต่อสมบัติเชิงกลของวัสดุพสมเสริมแรงด้วยเส้นใยชนิดเส้นขี้นอยู่กับ 1) สมบัติเฉพาะของเส้นใยและเมทริกซ์ 2) อัตราส่วน (aspect ratio) ของเส้นใยและเมทริกซ์ และการจัดเรียงตัวของเส้นใยในวัสดุพสม 3) อิทธิพลของการยึดเกาะระหว่างเส้นใยและเมทริกซ์ที่ซึ่งล่งผลต่อการกระจายแรงในวัสดุพสม

ตารางที่ 3 การเปรียบเทียบเชิงสถิติสมบัติเชิงกลของวัสดุพลาสติกห่วงกู่มีเส้นใย (C1 และ C2) กับอัตราส่วนที่แตกต่างกัน

สมบัติเชิงกล	แหล่งข้อมูล	Df	SS	Ms	F	P
ความทนแรงดึง (Tensile Strength)	C1 และ C2	1	631.309	631.309	87.183	.000*
	อัตราส่วน	4	82.483	20.621	2.848	.051
	อัตราส่วนร่วม	4	56.958	14.239	1.966	.139
มอดูลัสแรงดึง (Tensile Modulus)	C1 และ C2	1	690338.157	690338.157	398.298	.000*
	อัตราส่วน	4	308583.141	77145.785	44.510	.000*
	อัตราส่วนร่วม	4	234976.197	58744.049	33.893	.000*
ความทนแรงดัดโค้ง (Flexural Strength)	C1 และ C2	1	428.879	428.879	43.756	.000*
	อัตราส่วน	4	173.514	43.379	4.426	.010*
	อัตราส่วนร่วม	4	149.745	37.436	3.819	.018*
มอดูลัสแรงตัวโค้ง (Flexural Modulus)	C1 และ C2	1	4643433.971	4643433.971	4953.661	.000*
	อัตราส่วน	4	11452.611	2863.153	3.054	.041*
	อัตราส่วนร่วม	4	16887.719	4221.930	4.504	.009*
ความทนแรงกระแทก (Impact Strength)	C1 และ C2	1	34.326	34.326	77.869	.000*
	อัตราส่วน	4	9.661	2.415	5.479	.004*
	อัตราส่วนร่วม	4	50.052	12.513	28.386	.000*

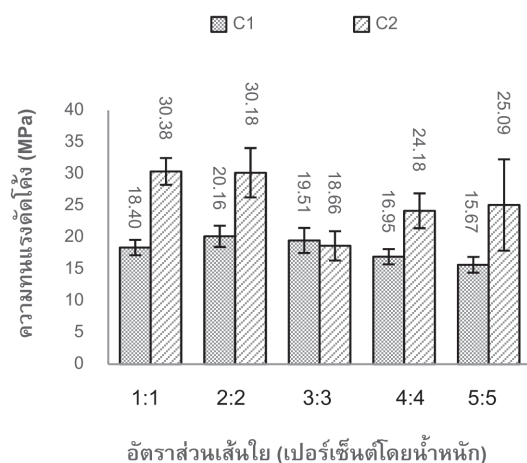
หมายเหตุ * คือ $P < 0.5$



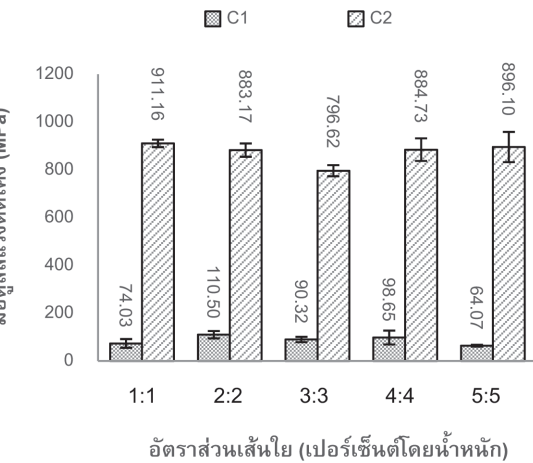
รูปที่ 2 สมบัติความทนแรงดึงของวัสดุพลาสติกห่วงกู่มีเส้นใยที่มีอัตราส่วนแตกต่างกัน

รูปที่ 3 สมบัติความทนแรงดึงของวัสดุพลาสติกห่วงกู่มีเส้นใยที่มีอัตราส่วนแตกต่างกัน

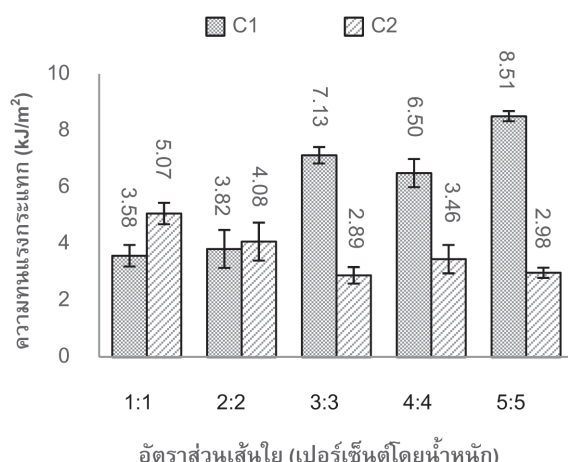
และมอดูลัสแรงดันได้ของ C2 ที่อัตราส่วน 1:1 มีค่าสูงสุด คือ 30.38 MPa และ 911.16 MPa ตามลำดับ ซึ่งจากการวิเคราะห์ทางอิทธิพลร่วมระหว่างปัจจัยที่ 1 และปัจจัยที่ 2 พบว่า มีความแตกต่างกันที่ $P < .05$ แสดงให้เห็นว่า อิทธิพลร่วมดังกล่าว ส่งผลให้ค่าความทนแรงดัดโค้งและมอดูลัสแรงดันได้ต่อต้านกัน ดังตารางที่ 2 และ 3 ส่วนรูปที่ 4 และ 5 สามารถอธิบายเพิ่มเติมได้ว่าส่วนใหญ่ C1 มีค่าความทนแรงดัดโค้ง และมอดูลัสแรงดันได้คงน้อยกว่า C2 เนื่องจากเกิดช่องว่างหรือรูพรุนบริเวณเนื้อของวัสดุผสม ส่งผลให้การยึดเกาะระหว่างเส้นใยและเมทริกซ์ลดลง สอดคล้องกับการศึกษาของ Khalil และคณะ [17] กล่าวว่า การเพิ่มพื้นที่ช่องว่างระหว่างเส้นใยและเมทริกซ์นั้น จะส่งผลให้เกิดความอ่อนแองของพันธะที่เชื่อมระหว่างเส้นใยและเมทริกซ์ ทำให้สัมบัติแรงดันได้และการส่งผ่านความเดินระหว่างเส้นใยและเมทริกซ์ลดลง ส่วนปัจจัยที่มีผลต่อพันธะภายในขั้นอยู่กับเมทริกซ์และชนิดของเส้นใย อัตราส่วน (aspect ratio) ของเส้นใย วิธีการผสมในการเตรียมตัวอย่าง เงื่อนไขกระบวนการผลิต และชนิดของสารเคมีที่ใช้ในการตัดแปรเส้นใย



รูปที่ 4 สมบัติความทนแรงดันได้ของวัสดุผสมที่มีอัตราส่วนแตกต่างกัน



รูปที่ 5 สมบัติมอดูลัสแรงดันได้ของวัสดุผสมที่มีอัตราส่วนแตกต่างกัน



รูปที่ 6 สมบัติความทนแรงดันได้ของวัสดุผสมที่อัตราส่วนแตกต่างกัน

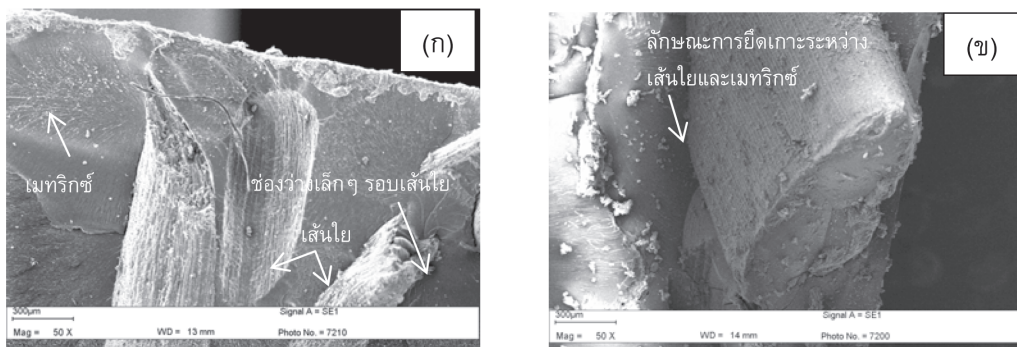
3. สมบัติแรงกระแทก (Impact Properties)

ผลการวิเคราะห์ค่าความหนาแรงกระแทก ดังรูปที่ 6 พบว่า มีอิทธิพลร่วมระหว่างปัจจัยทั้งสอง ($p < .05$) ดังตารางที่ 3 โดยค่าความหนาแรงกระแทกของ C1 ที่อัตราส่วนเส้นไข 5.5 มีค่ามากที่สุด คือ 8.51 kJ/m^2 และมากกว่าชิ้นงานอื่นๆ แต่ไม่แตกต่างจาก C1 ที่อัตราส่วน 3:3 เนื่องจากมีสมบัติและพันธะภายในที่ส่งผลต่อการยึดเกาะระหว่างเส้นไขและเมทริกซ์ได้ดี ซึ่งเป็นปัจจัยสำคัญที่ส่งผลต่อสมบัติความหนาแรงกระแทกของวัสดุ [18] นอกจากนี้ ประสิทธิภาพค่าความหนาแรงกระแทกของวัสดุขึ้นอยู่กับตัวแปรต่างๆ เช่น คุณภาพของเมทริกซ์ การแตกหักและลักษณะการหลุดออกของเส้นไข (fiber pull out) ซึ่งมีผลต่อการดูดซับพลังงานแรงกระแทกขณะทดสอบชิ้นงาน [19]

4. โครงสร้างทางจุลภาคหลังการทดสอบสมบัติเชิงกล

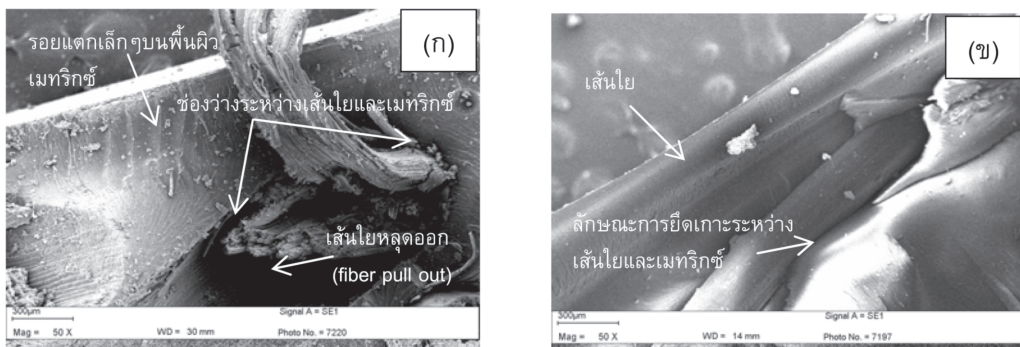
การวิเคราะห์โครงสร้างทางจุลภาคของวัสดุผสานหลังการทดสอบสมบัติเชิงกล โดยใช้กล้องจุลทรรศน์อิเล็กตรอนแบบล่องกราด (Scanning Electron Microscope (SEM)) ซึ่งจะแสดงจุดบกพร่องหลังการแตกหัก และลักษณะเส้นไขหลุดออก ดังรูปที่ 7 8 และ 9

จากรูปที่ 7 (ก และ ข) เป็นภาพของวัสดุผสานหลังการทดสอบสมบัติความหนาแรงดึง โดยรูปที่ 7(ก) แสดงช่องว่างเล็กๆ รอบเส้นไขของ C1 ที่อัตราส่วน 2:2 ส่งผลต่อการยึดเกาะระหว่างเส้นไขและเมทริกซ์ และทำให้วัสดุผสานมีสมบัติความหนาแรงดึงลดลง ทั้งนี้เป็นผลจากขั้นตอนระหว่างการเตรียมวัสดุผสาน [15] และขั้นตอนของการดัดแปลงเส้นไขที่เกิดข้อนกพร่อง ทำให้ความเข้ากันได้ระหว่างเส้นไขและเมทริกซ์ลดลง [21] เนื่องจากความล้มเหลวของแรงดึง (tensile failure) ขึ้นอยู่กับความเครียดขณะเกิดการแตกหัก และมอดูลัสเชิงพาณิชย์ของเส้นไขเสริมแรงวัสดุผสาน [22, 23] ล่วนรูปที่ 7(ข) แสดง C2 ที่อัตราส่วน 1:1 พบว่า เมทริกซ์ที่อยู่รอบๆ เส้นไขยึดเกาะกันได้ดี และมีช่องว่างน้อย เป็นสาเหตุทำให้ความเครียดแรงดึง (tensile strain) สัมพันธ์กับความสามารถในการดูดซับและกระจายแรงอิ่มสม่ำเสมอทั่วทั้งพื้นผิววัสดุผสาน สำหรับพฤติกรรมการกระจายแรงระหว่างเส้นไขและเมทริกซ์หลังการทดสอบความหนาแรงดึงด็อก แสดงดังรูปที่ 8 (ก และ ข) จากรูปที่ 8(ก) พบว่า C1 ที่อัตราส่วน 5:5 ปราศจากรอยแตกเล็กๆ บนพื้นผิว รวมทั้งเกิดช่องว่างระหว่างเส้นไขและเมทริกซ์ ส่งผลให้สมบัติความหนาแรงดึงด็อกลดลง เนื่องจากเกิดปรากฏการณ์หลุดออกของเส้นไข (fiber pull out phenomena) บ่งบอกถึงการแตกหักจำนวนมากของเส้นไข [24]

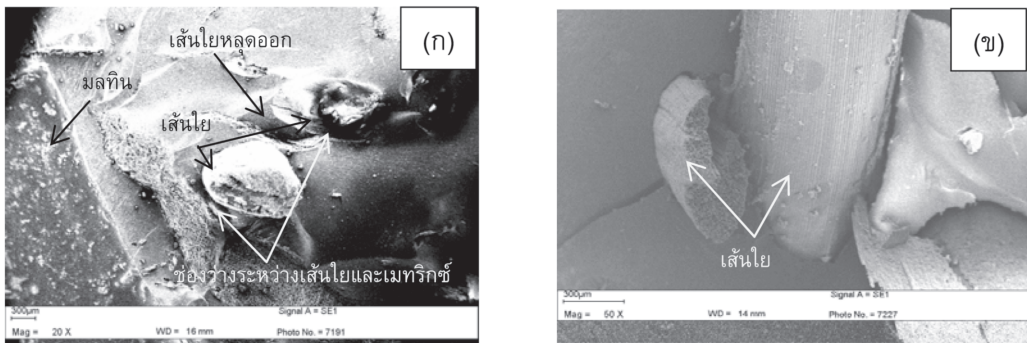


รูปที่ 7 โครงสร้างทางจุลภาคของตัวอย่างชิ้นงานวัสดุผสมหลังการทดสอบความหน่วงดึง^(ก) วัสดุผสม C1 ที่อัตราส่วนเส้นใย 2:2 (^ข) วัสดุผสม C2 ที่อัตราส่วนเส้นใย 1:1

ส่วนรูปที่ 8 (^ก) แสดงการยึดเกาะที่ดีระหว่างเส้นใยและเมทริกซ์ของ C2 ที่อัตราส่วน 1:1 ส่งผลให้วัสดุผสมมีความแข็งแรง และความแข็งตึงสูง (stiffness) [20] และรูปที่ 9 (^ก และ ^ข) แสดงความเสียหายของวัสดุผสมหลังการทดสอบสมบัติความหน่วงแรงกระแทก จากรูปที่ 9 (^ก) พบร่วมกับ C2 ที่อัตราส่วน 3:3 ปรากฏช่องว่างเล็กๆ บนพื้นผิวเมทริกซ์รอบๆ เส้นใย รวมทั้งลักษณะเส้นใยหลุดออกที่เกิดขึ้น ทำให้การดูดซับพลังงานการแตกหัก และพันธะภายในที่เชื่อมระหว่างเส้นใยกับเมทริกซ์ลดลง เกิดรอยแตกแนวยาวพรั่งราบรื่นระหว่างเส้นใยและเมทริกซ์ [25] ในทางตรงกันข้าม รูปที่ 9 (^ข) แสดงเส้นใยที่มีความเสียหายน้อยและสามารถยึดเกาะกับเมทริกซ์ได้ดี ส่งผลให้ C1 ที่อัตราส่วน 5:5 สามารถดูดซับพลังงานหลังจากการแตกหักได้อย่างมีประสิทธิภาพ



รูปที่ 8 โครงสร้างทางจุลภาคของตัวอย่างชิ้นงานวัสดุผสมหลังการทดสอบความหน่วงด้วยโด้ง^(ก) วัสดุผสม C1 ที่อัตราส่วนเส้นใย 5:5 (^ข) วัสดุผสม C2 ที่อัตราส่วนเส้นใย 1:1



รูปที่ 9 โครงสร้างทางจุลภาคของตัวอย่างชิ้นงานวัสดุผสมหลังการทดสอบความทนแรงกระแทก

(ก) วัสดุผสม C2 ที่อัตราส่วนเส้นใย 3:3 (ข) วัสดุผสม C1 ที่อัตราส่วนเส้นใย 5:5

สรุปและวิเคราะห์ผลการทดลอง

สมบัติเชิงกลของวัสดุผสมชิ้นภาพเสริมแรงด้วยเส้นใยரากหญ้าแฟกผสานเส้นไยมะพร้าว และเส้นใยรากหญ้าแฟกผสานเปลือกถั่วลิสงที่อัตราส่วนแตกต่างกัน สรุปผลได้ ดังนี้ 1) วัสดุผสมเสริมแรงด้วยเส้นใยรากหญ้าแฟกผสานเส้นไยเปลือกถั่วลิสง (C2) ที่อัตราส่วน 1:1 มีค่าความทนแรงดึง มอดูลัสแรงดึง ความทนแรงดัดโค้ง และมอดูลัสแรงดัดโค้งสูงสุด เท่ากับ 28.72 MPa 918.00 MPa 30.38 MPa และ 911.16 MPa ตามลำดับ ซึ่งมากกว่าชิ้นงานอื่นๆ แต่ไม่แตกต่างจาก C2 ที่อัตราส่วน 5:5 มีค่าความทนแรงกระแทกสูงสุด เท่ากับ 8.51 kJ/m² และมากกว่าชิ้นงานอื่นๆ แต่ไม่แตกต่างจาก C1 ที่อัตราส่วน 3:3 ชนิดและการกระจายตัวตามแนวอิสระ พื้นจะภายในที่ยึดเกาะระหว่างเส้นใยและเมทัริกซ์ รวมทั้งอัตราส่วนของเส้นใย มีผลต่อสมบัติเชิงกลของวัสดุผสม ดังนั้น วัสดุที่เหมาะสมสำหรับนำไปใช้ประโยชน์มากที่สุด คือ วัสดุผสมเสริมแรงด้วยเส้นใยรากหญ้าแฟกผสานเส้นไยเปลือกถั่วลิสง (C2) ที่อัตราส่วน 1:1 เนื่องจากเมื่อนำมาผสมกับเมทัริกซ์ พบร่วมกันเมทัริกซ์ที่เกิดซึ่งกันระหว่างเส้นใยกับเมทัริกซ์น้อยเมื่อเทียบกับอัตราส่วนอื่นๆ ส่งผลให้ค่าความทนต่อแรงดึงและแรงดัดโค้งเพิ่มขึ้น 2) วัสดุผสมเสริมแรงด้วยเส้นใยรากหญ้าแฟกผสานเส้นไยมะพร้าว (C1) ที่อัตราส่วน 5:5 มีค่าความทนแรงกระแทกสูงสุด เท่ากับ 8.51 kJ/m²

การศึกษาโครงสร้างทางจุลภาคของวัสดุผสมหลังการทดสอบสมบัติเชิงกล สรุปผลได้ดังนี้ 1) สาเหตุที่ทำให้สมบัติเชิงกลมีค่าเพิ่มขึ้น เนื่องจากการยึดเกาะระหว่างเส้นใยและเมทัริกซ์เกิดขึ้นได้ดีทำให้เกิดซึ่งว่างน้อย และความเครียดแรงดึงล้มพังกับความสามารถในการดูดซับและกระจายแรงอย่างสม่ำเสมอทั่วทั้งพื้นผิวของวัสดุผสม 2) สาเหตุที่ทำให้สมบัติเชิงกลของวัสดุผสมมีค่าลดลง เนื่องจากพบซ่องว่างระหว่างเส้นใยและเมทัริกซ์ เป็นผลของปรากฏการณ์หลุดออกของเส้นใย (fiber pull out phenomena) และทำให้การดูดซับพลังงานการแตกหักลดลง ในกรณีของการทดสอบสมบัติความทนแรงกระแทก

กิตติกรรมประกาศ

ขอขอบคุณ รองศาสตราจารย์ ดร.ไพบูลย์ สุขรึงาม และรองศาสตราจารย์ ดร. ประเสริฐ ฤทธิเดช ที่ได้กำกับดูแล ตลอดจนเป็นผู้แก้ไขงานวิจัยจนเสร็จสมบูรณ์ ขอขอบคุณ นางสาวสวรรยา นามศักดิ์ และ นางสาวสุชาวดี พลพุทรา ที่ได้ช่วยงานวิจัยให้สำเร็จได้ด้วยดี ขอขอบคุณสาขาวิชาพิสิกส์ คณะวิทยาศาสตร์และเทคโนโลยี มหาวิทยาลัยราชภัฏมหาสารคามที่เอื้อเพื่อสถานที่สำหรับการทำงานวิจัย งานวิจัยนี้ได้รับทุนอุดหนุนวิจัยจาก เงินรายได้ สถาบันวิจัยและพัฒนา มหาวิทยาลัยราชภัฏมหาสารคาม ประจำปีงบประมาณ 2559 ผู้วิจัย ขอขอบพระคุณมา ณ ที่นี่

เอกสารอ้างอิง

1. Savana Bavan, D., and Mohan Kumak, G. C. 2014. Tensile and Thermal Degradation Properties of Vetiver Fiber Composites. *Procedia Materials Science.* 5: 605-611.
2. Sapuan, S. M., Leenie, A., Harimi, M., and Beng, Y. K. 2006. Mechanical Properties of Woven Banana Fibre Reinforced Epoxy Composite. *Materials & Design.* 27(8): 689-693.
3. Mukhopadhy, S., and Srikanta, S. 2008. Effect of Ageing of Sisal Fibres on Properties of Sisal Polypropylene Composites. *Polymer Degradation and Stability.* 93(11): 2048-2051.
4. Justiz-Smith, N. G., Junior Virgo, G., and Buchana, V. E. 2008. Potential of Jamaican Banana, Coconut Coir and Bagasse Fibres as Composite Materials. *Materials Characterization.* 59(9): 1273-1278.
5. Assarar, M., Scida, D., El Mahi, A., Poilane, C., and Ayad, R. 2011. Influence of Water Aging on Mechanical Properties and Damage Events of Two Reinforced Composite Materials : Flax-fibers and Glass-fibres. *Materials and Design.* 32(2): 788-795.
6. Asasutjarit, C., Hirunlabh, J., Khedari, J., Charoenvai, S., Zeghamati, B., and Shin, U. C. 2007. Development of Coconut Coir-based Lightweight Cement Board. *Construction and Building Materials.* 21(2): 277-288.
7. Food and Agriculture Organization of the United Nations [FAO]. 2009. Natural Fibers: Coir, International Year of Natural Fibers 2009. Available from URL:<http://www.naturalfibres2009.org>, 3 July 2016.
8. Allan Manalo, C., Evans, W., Noor Azwa, Z., Warna, K., and Kin-tak, L. 2015. Effects of Alkali Treatment and Elevated Temperature on the Mechanical Properties of Bamboo Fibre-polyester Composites. *Composites Part B : Engineering.* 80: 73-83.
9. Batalla, L., Nunez, A. J., and Marcovich, N. E. 2005. Particleboards from Peanut-shell Flour. *Journal of Applied Polymer Science.* 97(3): 916-923.
10. Bledzki, A., and Gassan, J. 1999. Composites Reinforced with Cellulose Based Fibers.

- Progress in Polymer Science.* 24(2): 221-274.
11. Pragatheeswaran, R., and Senthil Kumaran, S. 2015. Mechanical Behavior of Groundnut Shell Powder/Calcium Carbonate/Vinyl Estercomposite. *International Journal of Current Engineering and Scientific Research.* 2: 28-31.
 12. Yupaporn, R., Nitinat, S., Wimonlak, S., and Wandee, T. 2007. Vetiver-polypropylene Composites: Physical and Mechanical Properties. *Composites: Part A.* 38: 590-601.
 13. Bhoopathi, R., RaMesh, M., and Deepa, C. 2014. Fabrication and Property Evaluation of Banana-Hemp-Glass Fiber Reinforced Composites. *Procrdia Engineering.* 97: 2032-2041.
 14. Amuthakkannan, P., Manikandan, V., Winowlin Jappes, J. T., and Uthayakumar, M. 2013. Effect of Fibre Length and Fibre Content on Mechanical Properties of Shirt Basalt Fibre Reinforced Polymer Matrix Composites. *Materials Physics and Mechanics.* 16: 107-117.
 15. Raghavendra, S., Balachandrashtetty, P., Mukunda, P. G., and Sathyanarayana, K. G. 2012. The Effect of Fiber Length on Tensile Properties of Epoxy Resin Composites Reinforced by the Fibers of Banana. *International Journal of Engineering Research & Technology.* 1(6): 2278-0181.
 16. Sandhyarani, B., Sanjay, K., and Amar, P. 2011. Effect of Fiber Length on Mechanical Behavior of Coir Fiber Reinforced Epoxy Composite. *Fibers and Polymers.* 12(1): 73-78.
 17. Khalil, H. P. S. A., Issam, A. M., Ahmad Shakri, M. T., Suriani, R., and Awang, A. Y. 2007. Conventional Agro-composites from Chemically Modified Fibres. *Industrial Crops and Products.* 26(3): 315-323.
 18. Alamri, A., and Low, A. M. 2012. Mechanical Properties and Water Absorption Behavior of Recycled Cellulose Fibre Reinforced Epoxy Composites. *Polymer Testing.* 31(5): 620-628.
 19. Wambua, P., Lvens, J., and Verpoest, I. 2003. Natural Fibres: Can They Replace Glass in Fibre Reinforced Plastic?. *Composites Science and Technology.* 63(9): 1259-1264.
 20. Mathews, F. L., and Rawlings, R. D. 1999. Composites Materials Engineering and Science. London. Chapman and Hall. p. 260.
 21. Samia, S. M., Nazia, N., Mahbub, H., Najib, H., and Azman, H. 2013. Improvement of Physic-mechanical Properties of Coir-polypropylene Biocomposites by Fiber Chemical Treatment. *Materials and Design.* 52: 251-257.
 22. Sreekala, M. S., George, J., Kumaran, M. G., and Thomas, S. 2002. The Mechanical Performance of Hybrid Phenol-formaldehyde Based Composites Reinforced with Glass and Oil Palm Fibres. *Composites Science and Technology.* 62(3): 339-353.
 23. Zweben, C. 1977. Tensile Strength of Hybrid Composites. *Journal of Materials Science.* 12(7): 1325-1337.

24. Boopalan, M., Niranjanaa, M., and Umapathy M. J. 2013. Study on the Mechanical Properties and Thermal properties of Jute and Banana Fiber Reinforced Epoxy Hybrid Compsites. *Composites Part B: Engineering.* 51: 54-57.
25. Oksman, K. 2000. Mechanical Properties of Natural Fibre Mat Reinforced Thermoplastic. *Applied Composite Materials.* 7(5): 403-414.

ได้รับทุกความนิยมที่ 16 ธันวาคม 2559
ยอมรับตีพิมพ์วันที่ 20 ตุลาคม 2559

